

ОПТИМИЗАЦИЯ СЛОИСТОГО СФЕРИЧЕСКОГО ВКЛЮЧЕНИЯ В БЕСКОНЕЧНОЙ МАТРИЦЕ ПРИ ОДНООСНОМ РАСТЯЖЕНИИ

Задачи синтеза слоистых тел — одно из перспективных направлений в области структурной оптимизации. Им посвящен ряд работ [1—4], касающихся вопросов проектирования слоистых теплозащитных панелей, многослойных волновых фильтров, упругих слоистых тел. В задачах синтеза слоистых конструкций в качестве управляющих параметров выбираются структура конструкции и ее геометрические размеры. Управлением, характеризующим структуру слоистых тел, является кусочно-постоянная функция с дискретной областью значений. Поэтому при выводе управляющих уравнений, построении численных алгоритмов необходимо использовать методы теории оптимального управления. Структура и размеры слоистой конструкции полностью определяются в процессе оптимизации, хотя заранее количество, размеры и материалы слоев не известны.

В настоящей работе рассматривается задача синтеза из конечного набора упругих однородных изотропных материалов многослойного сферического включения минимального веса, находящегося в матрице, растягиваемой на бесконечности равномерным одноосным усилием, при заданных ограничениях на прочность включения и его размеры. Получены необходимые условия оптимальности, построен вычислительный алгоритм и приведен пример расчета оптимального включения.

1. Постановка задачи. Пусть имеется набор W , состоящий из k однородных изотропных материалов. Из него требуется синтезировать слоистое сферическое включение минимального веса.

Пусть R_1 , R_2 — радиусы внутренней и внешней поверхностей рассматриваемого включения (см. рисунок), которое находится в матрице, растягиваемой на бесконечности равномерным одноосным усилием q . На границе R_1 включения считаем известным давление p . Напряженно-деформированное состояние многослойного включения и матрицы в случае осевой симметрии описываются краевой задачей, включающей в себя уравнения равновесия

$$(1.1) \quad \begin{aligned} \frac{\partial \sigma_{rr}}{\partial r} + \frac{1}{r} \frac{\partial \sigma_{r\theta}}{\partial \theta} + \frac{1}{r} (2\sigma_{rr} - \sigma_{\theta\theta} - \sigma_{\varphi\varphi} + \sigma_{r\theta} \operatorname{ctg} \theta) &= 0, \\ \frac{\partial \sigma_{r\theta}}{\partial r} + \frac{1}{r} \frac{\partial \sigma_{\theta\theta}}{\partial \theta} + \frac{1}{r} [3\sigma_{r\theta} + (\sigma_{\theta\theta} - \sigma_{\varphi\varphi}) \operatorname{ctg} \theta] &= 0; \end{aligned}$$

соотношения закона Гука

$$(1.2) \quad \sigma_{ij} = 2G \left[\frac{\nu}{1-\nu} (e_{kl} \delta_{kl}) \delta_{ij} + e_{ij} \right],$$

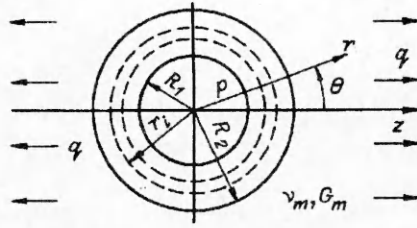
где ненулевые компоненты тензора деформации в сферической системе координат (r, θ, φ) имеют вид

$$(1.3) \quad \begin{aligned} e_{rr} &= \frac{\partial u_r}{\partial r}, \quad e_{\theta\theta} = \frac{1}{r} \frac{\partial u_\theta}{\partial \theta} + \frac{u_r}{r}, \\ e_{\varphi\varphi} &= \frac{u_r}{r} + \frac{u_\theta}{r} \operatorname{ctg} \theta, \quad 2e_{r\theta} = \frac{1}{r} \frac{\partial u_r}{\partial \theta} + \frac{\partial u_\theta}{\partial r} - \frac{u_\theta}{r}, \end{aligned}$$

и краевые условия

$$(1.4) \quad \begin{aligned} \sigma_{rr}(R_1, \theta) &= -p, \quad \sigma_{r\theta}(R_1, \theta) = 0, \\ \sigma_{rr}(\infty, \theta) &= q \cos^2 \theta, \quad \sigma_{r\theta}(\infty, \theta) = -q \cos \theta \cdot \sin \theta. \end{aligned}$$

Здесь $u_r(r, \theta)$, $u_\theta(r, \theta)$ — радиальное и меридиональное смещения точек тела; $G(r)$, $\nu(r)$ — распределенные характеристики среды: модули сдвига и коэффициенты Пуассона материалов слоев включения и матрицы.



На внутренних границах $r_i \in (R_1, R_2]$ слоев включения и самой границе включения — матрица, где терпят разрыв свойства среды, необходимо задавать условия сопряжения: непрерывность смещений u_r, u_θ и напряжений $\sigma_{rr}, \sigma_{r\theta}$, т. е.

$$(1.5) \quad [u_r(r_i, \theta)] = [u_\theta(r_i, \theta)] = \\ = [\sigma_{rr}(r_i, \theta)] = [\sigma_{r\theta}(r_i, \theta)] = 0.$$

Пусть σ, L, ρ_* — характерные величины, имеющие размерность напряжения, длины и плотности. Введем новые безразмерные переменные (в дальнейшем звездочка у безразмерных величин опущена)

$$(1.6) \quad u_i^* = u_i/L, \quad R_j^* = R_j/L, \quad \sigma_{ij}^* = \sigma_{ij}/\sigma, \quad \sigma_\tau^* = \sigma_\tau/\sigma, \\ G^* = G/\sigma, \quad p^* = p/\sigma, \quad q^* = q/\sigma, \quad \rho^* = \rho/\rho_*$$

(σ_τ, ρ — пределы прочности и плотности материалов из множества W). Сделаем замену координат

$$(1.7) \quad r = R_1 + x(R_2 - R_1), \quad x \in [0, 1],$$

переводящую переменную область задания $[R_1, R_2]$ в постоянную $[0, 1]$. Введем кусочно-постоянную функцию

$$(1.8) \quad \alpha(x) = \{\alpha_j; x \in [x_j, x_{j+1}), j = 1, \dots, n\}, \quad x_1 = 0, \quad x_{n+1} = 1,$$

характеризующую структуру многослойного включения: количество, размеры и материалы составляющих его слоев. Значения α_j принадлежат дискретному конечному множеству

$$(1.9) \quad U = \{\alpha_1, \dots, \alpha_k\},$$

соответствующему заданному набору материалов W . Теперь все характеристики материалов из множества W будут функциями распределения $\alpha(x)$ на отрезке $[0, 1]$. Удобно в качестве множества U задавать набор целых чисел $U = \{1, \dots, k\}$. Тогда запись $\alpha(x) = i, x \in [x_j, x_{j+1})$ означает, что j -й сферический слой включения состоит из i -го материала множества W .

Так как структура слоистого включения определяется функцией $\alpha(x)$, а геометрия — его размерами R_1 и R_2 , в качестве управления рассмотрим пару $\{\alpha(x), R_1\}$ (для определенности внешний радиус R_2 считаем фиксированным), где $\alpha(x) \in U$ (1.9) и

$$(1.10) \quad R_1 \in [a, b]$$

(a, b — заданные пределы, в которых может варьироваться толщина рассматриваемого включения).

Задача оптимального проектирования заключается в следующем. Среди кусочно-постоянных функций $\alpha(x)$ (1.8), область значений которых принадлежит множеству U (1.9), и параметров R_1 из отрезка $[a, b]$ (1.10) требуется найти управление $\{\alpha(x), R_1\}$, доставляющее минимум функционалу веса

$$(1.11) \quad F[\alpha, R_1] = 4\pi \int_{R_1}^{R_2} \rho(\alpha) r^2 dr = \int_0^1 \Phi(x, \alpha, R_1) dx,$$

при заданном ограничении на прочность

$$(1.12) \quad \eta(x, \theta, u_r, u_\theta, \sigma_{rr}, \sigma_{r\theta}, \alpha, R_1) \leq 0.$$

В качестве ограничения (1.12) рассмотрим условие текучести Мизеса

$$(1.13) \quad \eta = (\sigma_{rr} - \sigma_{\theta\theta})^2 + (\sigma_{\theta\theta} - \sigma_{\varphi\varphi})^2 + (\sigma_{\varphi\varphi} - \sigma_{rr})^2 + 6\sigma_{r\theta}^2 - 2\sigma_\tau^2 \leq 0.$$

Заметим, что неравенство (1.13) можно записать в терминах $u_r, u_\theta, \sigma_{rr}, \sigma_{r\theta}$, используя соотношения закона Гука (1.2).

2. Необходимые условия оптимальности. Для их вывода в задаче (1.1) — (1.13) требуется построить выражения для вариаций целевого функционала

(1.11) и ограничения (1.13) через вариации управления $\{\alpha(x), R_1\}$. С этой целью преобразуем краевую задачу (1.1)–(1.5). В [5] приведено решение задачи (1.1)–(1.4) для произвольного однородного сферического слоя и для матрицы, подвергаемой одноосному растяжению на бесконечности усилием q .

В слое и матрице решение имеет вид

$$(2.1) \quad u_r(r, \theta) = u_{r1}(r) + u_{r2}(r) \cos 2\theta, \quad u_\theta(r, \theta) = u_{\theta1}(r) \sin 2\theta, \\ \sigma_{rr}(r, \theta) = \sigma_{r1}(r) + \sigma_{r2}(r) \cos 2\theta, \quad \sigma_{r\theta}(r, \theta) = \tau(r) \sin 2\theta.$$

Напряженно-деформированное состояние матрицы без включения, удовлетворяющее условиям (1.4) на бесконечности, описывается формулами

$$(2.2) \quad u_{r1} = -\frac{A_1}{r^2} - \frac{3A_2}{r^4} + \frac{5-4\nu_m}{3(1-2\nu_m)} \frac{A_3}{r^2} + \frac{q(1-\nu_m)}{4G_m(1+\nu_m)} r, \\ u_{r2} = -\frac{9A_2}{r^4} + \frac{5-4\nu_m}{1-2\nu_m} \frac{A_3}{r^2} + \frac{q}{4G_m} r, \\ u_{\theta1} = -\frac{6A_2}{r^4} - \frac{2A_3}{r^2} - \frac{q}{4G_m} r, \\ \sigma_{r1} = 4G_m \left[\frac{A_1}{r^3} + \frac{6A_2}{r^5} - \frac{5-\nu_m}{3(1-2\nu_m)} \frac{A_3}{r^3} \right] + \frac{q}{2}, \\ \sigma_{r2} = 4G_m \left[\frac{18A_2}{r^5} - \frac{5-\nu_m}{1-2\nu_m} \frac{A_3}{r^3} \right] + \frac{q}{2}, \\ \tau = 4G_m \left[\frac{12A_2}{r^5} - \frac{1+\nu_m}{1-2\nu_m} \frac{A_3}{r^3} \right] - \frac{q}{2}$$

(G_m, ν_m — модуль сдвига и коэффициент Пуассона материала матрицы).

Условия сопряжения (1.5) и соотношения (1.7), (2.1) позволяют ввести непрерывные на отрезке $[0, 1]$ фазовые переменные

$$(2.3) \quad z(x) = (u_{r1}, u_{r2}, u_{\theta1}, \sigma_{r1}, \sigma_{r2}, \tau)^T.$$

Теперь исходную краевую задачу (1.1)–(1.4), используя решение (2.2) для матрицы, можно представить в виде краевой задачи относительно неизвестных $z(x)$ (2.3) только для сферического включения:

$$(2.4) \quad z'(x) = A(x, \alpha, R_1) z(x), \quad z_4(0) = -p, \quad z_5(0) = z_6(0) = 0, \\ z_f(1) = B(\nu_m, G_m, R_2) z_f(1) + c(\nu_m, G_m, R_2, q),$$

где $z_f(x) = (z_1, z_2, z_3)^T$, $z_i(x) = (z_4, z_5, z_6)^T$, а ненулевые элементы a_{ij} , b_{ij} , c_i матриц $A(x, \alpha, R_1)$, $B(\nu_m, G_m, R_2)$ и вектора $c(\nu_m, G_m, R_2, q)$ имеют вид

$$a_{11} = 2a_{13} = a_{22} = \frac{2}{3} a_{23} = -a_{65} = \frac{2\nu(R_2 - R_1)}{r(\nu - 1)}, \\ a_{14} = a_{25} = \frac{1-2\nu}{2G(1-\nu)} (\ddot{R}_2 - \ddot{R}_1), \quad \frac{1}{2} a_{32} = a_{33} = -a_{46} = -\frac{1}{3} a_{56} = -\frac{1}{3} a_{66} = \frac{R_2 - R_1}{r}, \\ a_{36} = \frac{R_2 - R_1}{G}, \quad a_{41} = 2a_{43} = a_{52} = \frac{2}{3} a_{53} = a_{62} = 4G \frac{1+\nu}{1-\nu} \frac{R_2 - R_1}{r^2}, \\ a_{44} = a_{55} = \frac{(2-4\nu)(R_2 - R_1)}{r(\nu - 1)}, \quad a_{63} = 2G \frac{(5+\nu)(R_2 - R_1)}{r^2(1-\nu)}, \\ d = \frac{R_2}{8G_m(7-5\nu_m)}, \quad b_{11} = -\frac{R_2}{4G_m}, \quad b_{12} = d(3\nu_m - 1), \quad b_{13} = d(5 - 7\nu_m), \\ b_{22} = d(19\nu_m - 17), \quad b_{23} = d(15 - 21\nu_m), \quad b_{32} = d(10 - 14\nu_m), \\ b_{33} = d(26\nu_m - 22), \quad c_1 = \frac{24qd(1-\nu_m)}{1+\nu_m}, \quad c_2 = -c_3 = 30qd(1-\nu_m).$$

Локальное ограничение (1.13) заменим на эквивалентное интегральное ограничение

$$(2.5) \quad F_1 [z, \alpha, R_1] = \frac{1}{2} \int_V \{ \eta(\dots) + |\eta(\dots)| \} dV = \int_0^1 \Phi_1(x, z, \alpha, R_1) dx = 0.$$

Здесь V — объем сферического включения, а функция $\Phi_1(\dots)$ в силу четности функции $\eta(\dots)$ по углу θ на отрезке $[0, \pi]$ имеет вид

$$\Phi_1(\dots) = 2\pi (R_2 - R_1) [R_1 + x(R_2 - R_1)]^2 \int_0^{\pi/2} \{ \eta(\dots) + |\eta(\dots)| \} \sin \theta d\theta.$$

Заметим, что у функционала (2.5) есть производная Фреше [6], так как подынтегральная функция $|\eta(\dots)|$, представляющая собой модуль от условия текучести Мизеса, в слоистой сфере может обращаться в нуль лишь на множестве нулевой меры, состоящем из конечного числа точек.

Пусть теперь пара $\{\alpha(x), R_1\}$ — оптимальное управление из допустимого множества (1.9), (1.10), минимизирующее функционал (1.11) и удовлетворяющее ограничению (2.5). Рассмотрим возмущенное управление $\{\alpha^*(x), R_1 + \delta R_1\}$ [6]

$$(2.6) \quad \alpha^*(x) = \begin{cases} g(x), & x \in D, \quad g(x) \in U, \\ \alpha(x), & x \notin D, \end{cases}$$

$$R_1 + \delta R_1 \in [a, b], \quad |\delta R_1| < \varepsilon$$

($D \subset [0, 1]$ — множество малой меры, $\text{mes}(D) < \varepsilon$, $\varepsilon > 0$ — малая величина). Используя стандартную технику [6], можно получить главные части приращений функционалов (1.11), (2.5) (для краткости аргументы функций, относящиеся к невозмущенному управлению $\{\alpha(x), R_1\}$, опущены):

$$(2.7) \quad \delta F[\dots] = \int_D \{ \Phi(\alpha^*, \dots) - \Phi(\alpha, \dots) \} dx + S \delta R_1,$$

$$\delta F_1[\dots] = \int_D \{ M(\alpha^*, \dots) - M(\alpha, \dots) \} dx + S_1 \delta R_1.$$

Здесь

$$M(x, z, \psi, \alpha, R_1) = \Phi_1(x, z, \alpha, R_1) + \psi^T(x) A(x, \alpha, R_1) z(x);$$

$$S = \int_0^1 \frac{\partial}{\partial R_1} \Phi(x, \alpha, R_1) dx; \quad S_1 = \int_0^1 \frac{\partial}{\partial R_1} M(x, z, \psi, \alpha, R_1) dx;$$

вектор сопряженных переменных $\psi(x)$ удовлетворяет краевой задаче

$$(2.8) \quad \psi'(x) = -A^T(x, \alpha, R_1) \psi(x) - \left[\frac{\partial}{\partial z} \Phi_1(x, z, \alpha, R_1) \right]^T,$$

$$\psi_1(0) = \psi_2(0) = \psi_3(0) = 0, \quad \psi_f(1) + B^T(v_m, G_m, R_2) \psi_f(1) = 0.$$

Составим теперь расширенный функционал

(2.9)

$$J[\alpha, R_1] = F[\alpha, R_1] + \lambda_1 F_1[z, \alpha, R_1] + \lambda_2 \{a - R_1 + \xi_1^2\} + \lambda_3 \{R_1 - b + \xi_2^2\}$$

(λ_i, ξ_i^2 — множители Лагранжа и штрафные переменные [7]). Вариацию функционала $J[\alpha, R_1]$ (2.9) с использованием выражений (2.7) можно представить в виде

$$(2.10) \quad \delta J[\dots] = \int_D \{ H(\alpha, \dots) - H(\alpha^*, \dots) \} dx + \{ S + \lambda_1 S_1 - \lambda_2 + \lambda_3 \} \delta R_1 + \\ + 2(\lambda_1 \xi_1 \delta \xi_1 + \lambda_2 \xi_2 \delta \xi_2),$$

где

$$(2.11) \quad H(x, z, \psi, \alpha, R_1) = -\Phi(x, \alpha, R_1) - \lambda_1 M(x, z, \psi, \alpha, R_1).$$

Так как управление $\{\alpha(x), R_1\}$ является оптимальным (минимизирующим) управлением, для любых допустимых управлений $\{\alpha^*(x), R_1 + \delta R_1\}$ должно выполняться условие $\delta J [\dots] \geq 0$. Тогда из выражения (2.10) в силу произвольности вариаций $\delta R_1, \delta \xi_i$ получаем соотношения [7]

$$(2.12) \quad S + \lambda_1 S_1 - \lambda_2 + \lambda_3 = 0;$$

$$(2.13) \quad \lambda_2 (a - R_1) = 0, \quad \lambda_3 (R_1 - b) = 0, \quad \lambda_2 \geq 0, \quad \lambda_3 \geq 0$$

и в силу того, что множество малой меры D может быть почти всюду плотно расположено на отрезке $[0, 1]$, для почти всех $x \in [0, 1]$ должно выполняться условие максимума для функции Гамильтона $H(\dots)$ (2.11) по аргументу α [6]:

$$(2.14) \quad H(x, z, \psi, \alpha, R_1) = \max_{\alpha^* \in U} H(x, z, \psi, \alpha^*, R_1).$$

Таким образом, получаем, что оптимальное управление $\{\alpha(x), R_1\}$ и соответствующие ему оптимальная траектория $z(x)$ и вектор сопряженных переменных $\psi(x)$ должны удовлетворять краевым задачам (2.4), (2.8), соотношениям и ограничениям (1.8)–(1.10), (2.5), (2.13) и условиям оптимальности (2.12), (2.14).

3. Вычислительный алгоритм. Основная идея прямого метода решения задач оптимального проектирования заключается в построении последовательности управлений $\{\alpha(x), R_1\}_j, j = 1, 2, \dots$, минимизирующей целевой функционал (1.11). Для этого введением равномерной сетки $\{x_i\}$ разобьем отрезок $[0, 1]$ на n отрезков D_i , моделирующих множества малой меры. Зададим начальное управление $\{\alpha(x), R_1\}$ из допустимой области (1.8)–(1.10), (2.5). Очевидно, что функция $\alpha(x)$ является кусочно-постоянной с участками постоянства $D_i = [x_i, x_{i+1})$, на которых она принимает значения из множества U (1.9). Следующее приближение $\{\alpha^*(x), R_1 + \delta R_1\}$ на некотором множестве D_i ищется в виде (2.6)

$$(3.1) \quad \alpha^*(x) = \begin{cases} \alpha_j, & x \in D_i, \quad \alpha_j \in U, \\ \alpha(x), & x \notin D_i; \end{cases}$$

$$(3.2) \quad R_1 + \delta R_1 \in [a, b], \quad |\delta R_1| < \varepsilon$$

и определяется из линеаризованной оптимизационной задачи: найти на множестве D_i такое допустимое возмущение $\{\alpha_j, \delta R_1\}$, которое обеспечивает максимальное убывание функционала $F[\dots]$, или, другими словами, минимум вариации $\delta F[\dots]$ (2.7) при условиях (3.1), (3.2) и линеаризованном ограничении (2.5)

$$(3.3) \quad F_1[z + \delta z, \alpha^*, R_1 + \delta R_1] \approx F_1[z, \alpha, R_1] + \delta F_1[z, \alpha, R_1] = 0,$$

где выражение для $\delta F_1[\dots]$ дается формулой (2.7). Данная линеаризованная задача представляет собой вариант задачи, рассмотренной в пп. 1, 2. Отсюда непосредственно получаем, что оптимальное возмущение $\{\alpha_j, \delta R_1\}$ должно удовлетворять соотношениям

$$(3.4) \quad \delta R_1 = -\tau \{S + \lambda_1 S_1 - \lambda_2 + \lambda_3\}, \quad \tau \geq 0;$$

$$(3.5) \quad \lambda_2 (a - R_1 - \delta R_1) = 0, \quad \lambda_3 (R_1 + \delta R_1 - b) = 0, \quad \lambda_2 \geq 0, \quad \lambda_3 \geq 0$$

и ограничениям (3.2), (3.3).

Множители $\tau, \lambda_2, \lambda_3$ в процессе численного счета находятся из (3.2), (3.5). Наилучшая поправка α_j (3.1) определяется следующим образом. Из соотношений (3.3), (3.4) получаем

$$(3.6) \quad \delta R_1 = - \left\{ \int_{D_i} [M(\alpha_j, \dots) - M(\alpha, \dots)] dx + F_1[z, \alpha, R_1] \right\} / S_1.$$

Тогда поправка α_j , минимизирующая вариацию $\delta F[\dots]$ (2.7), находится из условия

$$\int_{D_i} H(x, z, \psi, \alpha_j, R_1) dx = \max_{\alpha^* \in U, D_i} \int H(x, z, \psi, \alpha^*, R_1) dx,$$

где

$$H(x, z, \psi, \alpha_*, R_1) = -\Phi(x, \alpha_*, R_1) + SM(x, z, \psi, \alpha_*, R_1)/S_1.$$

При $S_1 = 0$ наилучшая поправка $\{\alpha_j, \delta R_1\}$ определяется из соотношений

$$\delta R_1 = -\tau \{S - \lambda_2 + \lambda_3\}, \quad \int_{D_i} \Phi(x, \alpha_j, R_1) = \min_{\alpha_* \in U_{D_i}} \int \Phi(x, \alpha_*, R_1) dx$$

с учетом ограничений (3.2), (3.3), (3.5).

Построив таким образом новое управление $\{\alpha^*(x), R_1 + \delta R_1\}$, принимаем его за начальное и строим следующее приближение. Процесс считается оконченным на данной сетке разбиения $\{x_i\}$, если управление $\{\alpha(x), R_1\}$ не изменяется ни на одном из множеств D_i . Получаемое решение представляет собой локальный минимум в рассматриваемой задаче.

Пример. Множество W состоит из пяти материалов, имеющих следующие механические и физические безразмерные характеристики (1.6):

$$E = 270; 7100; 12000; 21000; 11200, \quad \nu = 0,27; 0,33; 0,32; 0,3; 0,33, \\ \rho = 0,65; 2,85; 4,6; 7,8; 8,93, \quad \sigma_T = 4,5; 44; 80; 120; 20$$

($E = 2G(1 + \nu)$ — модуль Юнга материала).

На внутренней поверхности включения, радиус которой R_1 может меняться в пределах отрезка $[0,7; 0,9]$, задается давление $p = 0$. Внешний радиус R_2 считается фиксированным и равным единице. Матрица, содержащая сферическое включение, состоит из первого материала множества W и растягивается на бесконечности одноосным усилием $q = 4$. Область включения разбивается по толщине на 50 равных частей, моделирующих множества D_i .

В качестве начального приближения бралось однородное включение из второго материала с $R_1 = 0,7$. В результате оптимизации получено двухслойное включение с $R_1 = 0,8992$, весом $F_* = 3,7$ и со слоями $[0,8992; 0,9234]$ из третьего материала, $[0,9234; 1]$ из второго материала. Самым легким однородным включением, удовлетворяющим ограничениям на прочность (1.13) и толщину тела (1.10) при заданных p и q , является включение из второго материала с $R_1 = 0,85295$ и $F^* = 4,5299$.

Относительный выигрыш по весу для оптимального включения по сравнению с данным однородным составил $(1 - F_*/F^*) \cdot 100 \% = 18,3 \%$.

Работа выполнена в рамках гранта 2-41-7-26 МНВШ и ТП.

ЛИТЕРАТУРА

1. Бабе Г. Д., Гусев Е. Л. Математические методы оптимизации интерференционных фильтров.— Новосибирск: Наука, 1987.
2. Каниболотский М. А., Уржумцев Ю. С. Оптимальное проектирование слоистых конструкций.— Новосибирск: Наука, 1989.
3. Алёхин В. В., Аннин Б. Д., Колпаков А. Г. Синтез слоистых материалов и конструкций.— Новосибирск: ИГ СО АН СССР, 1988.
4. Алёхин В. В., Аннин Б. Д. Оптимизация термоупругих слоистых тел // ПМТФ.— 1989.— № 2.
5. Matonis V. A., Small N. C. A macroscopic analysis of composites containing layered spherical inclusions // Polymer Engineering and Science.— 1969.— V. 9, N 2.
6. Федоренко Р. П. Приближенное решение задач оптимального управления.— М.: Наука, 1978.
7. Хог Э., Арора Я. Прикладное оптимальное проектирование: механические системы и конструкции.— М.: Мир, 1983.

г. Новосибирск

Поступила 2/IV 1993 г.